

Modul 4: forelæsning 1

Lineære systemer af differentialligninger

Matematik og modeller 2018

Thomas Vils Pedersen
Institut for Matematiske Fag
vils@math.ku.dk

29. maj 2018 — Dias 1/28

Oversigt

- 1 Homogene systemer af differentialligninger $\mathbf{x}' = \mathbf{Ax}$
Forbundne kar og anæstesimodel
Løsning af homogene systemer

- 2 Inhomogene systemer $\mathbf{x}' = \mathbf{Ax} + \mathbf{b}$
Forbundne kar og anæstesimodel
Løsning af inhomogene systemer
Ligevægt og stabilitet

- 3 Inhomogene systemer $\mathbf{x}' = \mathbf{Ax} + \mathbf{b}(t)$
Løsning af inhomogene systemer
Rod-top model for kulstof i en plante

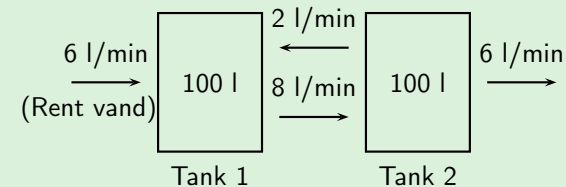
Dias 3/28

Kort oversigt over kurset

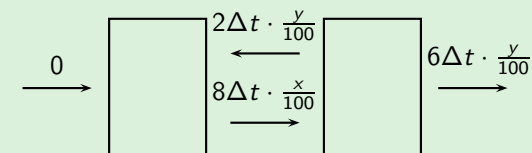
- Lineære differensligninger: $x_{t+1} = ax_t + b_t$ (Modul 2)
- Generelle differensligninger: $x_{t+1} = f(t, x_t)$ (Modul 2)
- Lineære systemer af differensligninger: $\mathbf{x}_{t+1} = \mathbf{Ax}_t + \mathbf{b}_t$ (Mod. 1, 2)
- Generelle systemer af differensligninger: $\mathbf{x}_{t+1} = \mathbf{f}(t, \mathbf{x}_t)$ (Modul 2)
- Lineære differentialligninger: $x' = ax + b(t)$ (Modul 3)
- Generelle differentialligninger: $x' = f(t, x)$ (Modul 3)
- Lineære systemer af differentialligninger: $\mathbf{x}' = \mathbf{Ax} + \mathbf{b}(t)$ (Modul 4)
- Generelle systemer af differentialligninger: $\mathbf{x}' = \mathbf{f}(t, \mathbf{x})$ (Modul 5)

Dias 2/28

To forbundne kar (eller søer eller investeringspuljer eller ...)



- Til tiden $t = 0$ er der 100 gram farvestof i tank 1 og intet i tank 2.
- Lad $x(t)$ og $y(t)$ betegne mængderne af farvestoffet i tank 1 hhv. tank 2 til tiden t .
- Transport af farvestoffet i løbet af et lille tidsrum Δt :



(Kan antage at $x(t)$ og $y(t)$ er stort set konstante i løbet af tidsrummet Δt .)

Dias 4/28

To forbundne kar – fortsat

- Nettoændringer i løbet af tidsrummet Δt :

$$\Delta x = -0.08 \cdot x \cdot \Delta t + 0.02 \cdot y \cdot \Delta t$$

$$\Delta y = 0.08 \cdot x \cdot \Delta t - 0.08 \cdot y \cdot \Delta t$$

- Ved at lade $\Delta t \rightarrow 0$ fører dette til følgende system af 2 differentialligninger:

$$x'(t) = -0.08 \cdot x(t) + 0.02 \cdot y(t)$$

$$y'(t) = 0.08 \cdot x(t) - 0.08 \cdot y(t)$$

- På matrixform

$$\begin{pmatrix} x' \\ y' \end{pmatrix} = \begin{pmatrix} -0.08 & 0.02 \\ 0.08 & -0.08 \end{pmatrix} \begin{pmatrix} x \\ y \end{pmatrix}$$

Dias 5/28

Lineære homogene systemer af differentialligninger

System af 2 lineære differentialligninger

(kaldes også 2 lineære samhørende (eller koblede) differentialligninger):

$$x'(t) = ax(t) + cy(t)$$

$$y'(t) = bx(t) + dy(t)$$

På matrixform:

$$\begin{pmatrix} x' \\ y' \end{pmatrix} = \begin{pmatrix} a & c \\ b & d \end{pmatrix} \begin{pmatrix} x \\ y \end{pmatrix}$$

System af n lineære differentialligninger

(kaldes også n lineære samhørende (eller koblede) differentialligninger):

$$x'_1(t) = a_{11}x_1(t) + \dots + a_{1n}x_n(t)$$

$$x'_2(t) = a_{21}x_1(t) + \dots + a_{2n}x_n(t)$$

$$\vdots$$

$$x'_n(t) = a_{n1}x_1(t) + \dots + a_{nn}x_n(t)$$

På matrixform: $\mathbf{x}' = \mathbf{Ax}$.

Dias 7/28

To andre modeller med lineære systemer

Anæstesimodel

(Gennemgås næste gang som oplæg til Miniprojekt 4)

$$\begin{pmatrix} K'_B \\ K'_V \end{pmatrix} = \begin{pmatrix} -(a_1 + a_3) & a_2 \\ a_1 & -a_2 \end{pmatrix} \begin{pmatrix} K_B \\ K_V \end{pmatrix}$$

hvor $K_B = K_B(t)$ hhv. $K_V = K_V(t)$ er koncentrationen af et anæstetisstof i blodet hhv. vævet til tiden t .

Rod-top model

(Gennemgås sidst i forelæsningsen)

Forskellige puljer af kulstof i en plante:

$$\begin{pmatrix} W'_P \\ W'_{ST} \\ W'_{GT} \\ W'_{SR} \\ W'_{GR} \end{pmatrix} = \begin{pmatrix} -(K_T + K_R) & 0 & 0 & 0 & 0 \\ K_T & -K_{GT} & K_{DT} & 0 & 0 \\ 0 & Y_{GT}K_{GT} & -K_{DT} & 0 & 0 \\ K_R & 0 & 0 & -K_{GR} & K_{DR} \\ 0 & 0 & 0 & Y_{GR}K_{GR} & -K_{DR} \end{pmatrix} \begin{pmatrix} W_P \\ W_{ST} \\ W_{GT} \\ W_{SR} \\ W_{GR} \end{pmatrix} + \begin{pmatrix} P_G(t) \\ 0 \\ 0 \\ 0 \\ 0 \end{pmatrix}$$

Dias 6/28

Løsning af homogene systemer $\mathbf{x}' = \mathbf{Ax}$ (intro)

Baggrund for sætningerne på næste side

- Motivation: Ligningen $x' = ax$ har løsningen $x = x(t) = e^{at}$.
- Idé: Ligningen $\begin{pmatrix} x' \\ y' \end{pmatrix} = \mathbf{A} \begin{pmatrix} x \\ y \end{pmatrix}$ har måske en løsning af formen

$$\begin{pmatrix} x \\ y \end{pmatrix} = e^{\lambda t} \begin{pmatrix} q_1 \\ q_2 \end{pmatrix} = \begin{pmatrix} e^{\lambda t} q_1 \\ e^{\lambda t} q_2 \end{pmatrix}$$

- Udregning 1: $\begin{pmatrix} x' \\ y' \end{pmatrix} = \begin{pmatrix} \lambda e^{\lambda t} q_1 \\ \lambda e^{\lambda t} q_2 \end{pmatrix} = \lambda e^{\lambda t} \begin{pmatrix} q_1 \\ q_2 \end{pmatrix}$

- Udregning 2: $\mathbf{A} \begin{pmatrix} x \\ y \end{pmatrix} = e^{\lambda t} \mathbf{A} \begin{pmatrix} q_1 \\ q_2 \end{pmatrix}$

- Sammenligning af Udregning 1 og 2: $\begin{pmatrix} x' \\ y' \end{pmatrix} = \mathbf{A} \begin{pmatrix} x \\ y \end{pmatrix}$ netop når

$$e^{\lambda t} \mathbf{A} \begin{pmatrix} q_1 \\ q_2 \end{pmatrix} = \lambda e^{\lambda t} \begin{pmatrix} q_1 \\ q_2 \end{pmatrix} \quad \text{dvs.} \quad \mathbf{A} \begin{pmatrix} q_1 \\ q_2 \end{pmatrix} = \lambda \begin{pmatrix} q_1 \\ q_2 \end{pmatrix},$$

så λ er en egen værdi for \mathbf{A} med tilhørende egenvektor $\begin{pmatrix} q_1 \\ q_2 \end{pmatrix}$.

Dias 8/28

Løsning af homogene systemer $\mathbf{x}' = \mathbf{A}\mathbf{x}$

Sætning

Differentialligningssystemet

$$\mathbf{x}' = \mathbf{A}\mathbf{x}$$

har en løsning ($\neq \mathbf{0}$) af formen

$$\mathbf{x}(t) = e^{\lambda t} \mathbf{q}$$

hvis og kun hvis λ er en egen værdi for \mathbf{A} med tilhørende egenvektor \mathbf{q} .Sætning Løsning af homogene systemer $\mathbf{x}' = \mathbf{A}\mathbf{x}$ Antag \mathbf{A} har n forskellige reelle egen værdier $\lambda_1, \dots, \lambda_n$ med tilhørende egenvektorer $\mathbf{q}_1, \dots, \mathbf{q}_n$.

Så er den fuldstændige løsning til differentialligningssystemet

 $\mathbf{x}' = \mathbf{A}\mathbf{x}$ givet ved

$$\mathbf{x}(t) = c_1 e^{\lambda_1 t} \mathbf{q}_1 + \dots + c_n e^{\lambda_n t} \mathbf{q}_n \quad (\text{hvor } c_1, \dots, c_n \in \mathbb{R}).$$

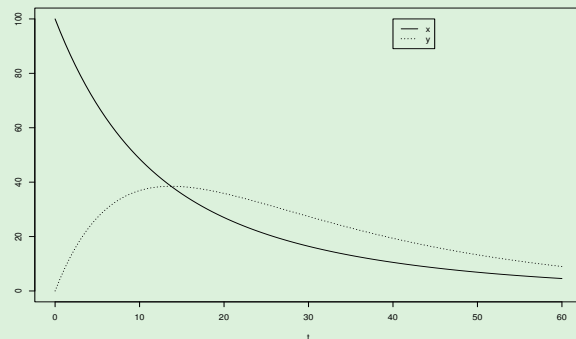
Dias 9/28

To forbundne kar – fortsat

Graferne for løsningerne

$$x(t) = 50 e^{-0.04 t} + 50 e^{-0.12 t}$$

$$y(t) = 100 e^{-0.04 t} - 100 e^{-0.12 t}$$



Dias 11/28

To forbundne kar – fortsat

- System af to differentialligninger:

$$\begin{pmatrix} x' \\ y' \end{pmatrix} = \begin{pmatrix} -0.08 & 0.02 \\ 0.08 & -0.08 \end{pmatrix} \begin{pmatrix} x \\ y \end{pmatrix}$$

- Fuldstændig løsning:

$$\begin{pmatrix} x(t) \\ y(t) \end{pmatrix} = c_1 e^{-0.04 t} \begin{pmatrix} 1 \\ 2 \end{pmatrix} + c_2 e^{-0.12 t} \begin{pmatrix} 1 \\ -2 \end{pmatrix}$$

- Partikulær løsning svarende til at der til tiden $t = 0$ er 100 gram farvestof i tank 1 og intet i tank 2; dvs. $x(0) = 100$ og $y(0) = 0$:

$$\begin{pmatrix} x(t) \\ y(t) \end{pmatrix} = 50 e^{-0.04 t} \begin{pmatrix} 1 \\ 2 \end{pmatrix} + 50 e^{-0.12 t} \begin{pmatrix} 1 \\ -2 \end{pmatrix} \quad \text{dvs.}$$

$$x(t) = 50 e^{-0.04 t} + 50 e^{-0.12 t}$$

$$y(t) = 100 e^{-0.04 t} - 100 e^{-0.12 t}$$

Dias 10/28

Problemer ved løsning af homogene systemer vha. matricer

Fra sætning ovenfor "Antag \mathbf{A} har n forskellige reelle egen værdier $\lambda_1, \dots, \lambda_n \dots$ "

Problem Hvad gør man, hvis \mathbf{A} *ikke* har n forskellige reelle egen værdier?

- Hvad gør man, hvis der er en dobbeltrod i den karakteristiske ligning $\det(\mathbf{A} - \lambda \mathbf{E}) = 0$? (Sjældent relevant)
- Hvad gør man, hvis \mathbf{A} har *komplekse* egen værdier? Hvad betyder $e^{\lambda t}$ hvis λ er kompleks? (Ofte relevant; gennemgås næste gang)

Dias 12/28

Sætning Dobbeltrod i den karakteristiske ligning

Lad

$$\mathbf{A} = \begin{pmatrix} a & c \\ b & d \end{pmatrix}$$

og antag at λ er en dobbeltrod i den karakteristiske ligning $\det(\mathbf{A} - \lambda \mathbf{E}) = 0$.

- Hvis $c \neq 0$, så er den fuldstændige løsning til systemet $\mathbf{x}' = \mathbf{A}\mathbf{x}$ givet ved

$$\begin{pmatrix} x(t) \\ y(t) \end{pmatrix} = c_1 e^{\lambda t} \begin{pmatrix} 2c \\ d - a \end{pmatrix} + c_2 e^{\lambda t} \begin{pmatrix} 2ct \\ (d - a)t + 2 \end{pmatrix}$$

- Hvis $c = 0$, så er $d = a$ og den fuldstændige løsning er givet ved

$$\begin{pmatrix} x(t) \\ y(t) \end{pmatrix} = c_1 e^{at} \begin{pmatrix} 1 \\ bt \end{pmatrix} + c_2 e^{at} \begin{pmatrix} 0 \\ 1 \end{pmatrix}$$

Dias 13/28

Lineære inhomogene systemer af differentialligninger

Inhomogent system af 2 lineære differentialligninger

På matrixform:

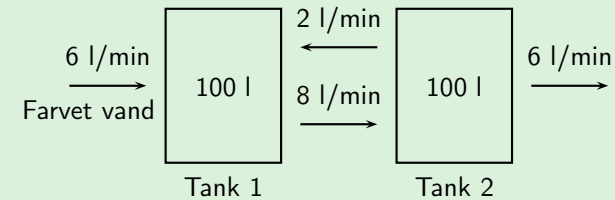
$$\begin{pmatrix} x' \\ y' \end{pmatrix} = \begin{pmatrix} a & c \\ b & d \end{pmatrix} \begin{pmatrix} x \\ y \end{pmatrix} + \begin{pmatrix} e \\ f \end{pmatrix}$$

Inhomogent system af n lineære differentialligninger

På matrixform:

$$\mathbf{x}' = \mathbf{A}\mathbf{x} + \mathbf{b}$$

Dias 15/28

To forbundne kar med konstant tilførsel af farvestof

- Ændring i forhold til tidligere: Det indstrømmende vand indeholder farvestoffet med en koncentration på 0.2 gram/l dvs. $6 \cdot 0.2 = 1.2$ gram/minut
- Fører til følgende system af 2 differentialligninger:

$$\begin{pmatrix} x' \\ y' \end{pmatrix} = \begin{pmatrix} -0.08 & 0.02 \\ 0.08 & -0.08 \end{pmatrix} \begin{pmatrix} x \\ y \end{pmatrix} + \begin{pmatrix} 1.2 \\ 0 \end{pmatrix}$$

Dias 14/28

Løsning af inhomogene systemer $\mathbf{x}' = \mathbf{A}\mathbf{x} + \mathbf{b}$ **Sætning** Løsning af inhomogene systemer $\mathbf{x}' = \mathbf{A}\mathbf{x} + \mathbf{b}$

Antag \mathbf{A} har n forskellige reelle egenverdier $\lambda_1, \dots, \lambda_n$ med tilhørende egenvektorer $\mathbf{q}_1, \dots, \mathbf{q}_n$.

Hvis \mathbf{A} har en invers matrix, så har det inhomogene system

$$\mathbf{x}' = \mathbf{A}\mathbf{x} + \mathbf{b}$$

den fuldstændige løsning

$$\begin{aligned} \mathbf{x} &= -\mathbf{A}^{-1}\mathbf{b} + \text{FHL} \\ &= -\mathbf{A}^{-1}\mathbf{b} + c_1 e^{\lambda_1 t} \mathbf{q}_1 + \dots + c_n e^{\lambda_n t} \mathbf{q}_n \quad (c_1, \dots, c_n \in \mathbb{R}), \end{aligned}$$

hvor "FHL" er den fuldstændige løsning til det homogene system $\mathbf{x}' = \mathbf{A}\mathbf{x}$.

Ligevægt $\mathbf{x}^* = -\mathbf{A}^{-1}\mathbf{b}$ kaldes *ligevægten* for systemet.

Bemærk, at når $\mathbf{x} = \mathbf{x}^* = -\mathbf{A}^{-1}\mathbf{b}$, så er $\mathbf{x}' = \mathbf{0}$.

Dias 16/28

Stabilitet af ligevægt for $\mathbf{x}' = \mathbf{Ax} + \mathbf{b}$

Stabil ligevægt Ligevægten $\mathbf{x}^* = -\mathbf{A}^{-1}\mathbf{b}$ for systemet $\mathbf{x}' = \mathbf{Ax} + \mathbf{b}$ kaldes *stabil*, hvis der gælder følgende:

For hvert $t_0 \in \mathbb{R}$ og for alle vektorer \mathbf{x}_0 i nærheden af \mathbf{x}^* vil løsningen $\mathbf{x}(t)$, som er fastlagt ved $\mathbf{x}(t_0) = \mathbf{x}_0$, opfylde

$$\mathbf{x}(t) \rightarrow \mathbf{x}^* \quad \text{for } t \rightarrow \infty.$$

(Løst sagt: Løsningen $\mathbf{x}(t)$ nærmer sig ligevægten \mathbf{x}^* i det lange løb.)

Sætning Stabilitet af ligevægt for $\mathbf{x}' = \mathbf{Ax} + \mathbf{b}$

Antag \mathbf{A} har n forskellige reelle egenverdier $\lambda_1, \dots, \lambda_n$.

Ligevægten $\mathbf{x}^* = -\mathbf{A}^{-1}\mathbf{b}$ for systemet $\mathbf{x}' = \mathbf{Ax} + \mathbf{b}$ er stabil, når alle \mathbf{A} 's egenverdier er negative (dvs. $\lambda < 0$ for alle egenverdier λ).

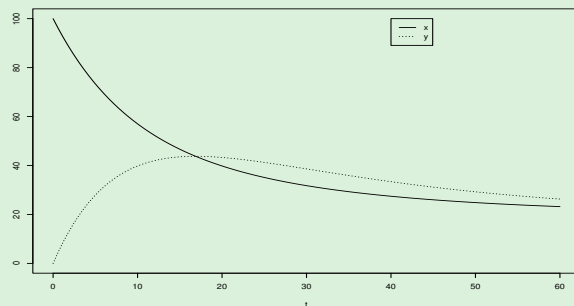
Bemærk forskellen i forhold til systemer af *differentielligninger*, hvor egenverdierne skal opfylde $|\lambda| < 1$.

Dias 17/28

To forbundne kar med konstant tilførsel – fortsat

Graferne for løsningerne

$$\begin{aligned} x(t) &= 20 + 35e^{-0.04t} + 45e^{-0.12t} \\ y(t) &= 20 + 70e^{-0.04t} - 90e^{-0.12t} \end{aligned}$$



Bemærk: I begge kar er slutkonc. = 0.2 = indstrømningskonc.

Dias 19/28

To forbundne kar med konstant tilførsel – fortsat

- System af differentialligninger: $\begin{pmatrix} x' \\ y' \end{pmatrix} = \begin{pmatrix} -0.08 & 0.02 \\ 0.08 & -0.08 \end{pmatrix} \begin{pmatrix} x \\ y \end{pmatrix} + \begin{pmatrix} 1.2 \\ 0 \end{pmatrix}$
- Ligevægt:

$$\begin{pmatrix} x^* \\ y^* \end{pmatrix} = -\mathbf{A}^{-1}\mathbf{b} = -\begin{pmatrix} -0.08 & 0.02 \\ 0.08 & -0.08 \end{pmatrix}^{-1} \begin{pmatrix} 1.2 \\ 0 \end{pmatrix} = \begin{pmatrix} 20 \\ 20 \end{pmatrix}$$

- Fuldstændig løsning: $\begin{pmatrix} x(t) \\ y(t) \end{pmatrix} = \begin{pmatrix} 20 \\ 20 \end{pmatrix} + c_1 e^{-0.04t} \begin{pmatrix} 1 \\ 2 \end{pmatrix} + c_2 e^{-0.12t} \begin{pmatrix} 1 \\ -2 \end{pmatrix}$
- Partikulær løsning svarende til $x(0) = 100$ og $y(0) = 0$:

$$\begin{pmatrix} x(t) \\ y(t) \end{pmatrix} = \begin{pmatrix} 20 \\ 20 \end{pmatrix} + 35 e^{-0.04t} \begin{pmatrix} 1 \\ 2 \end{pmatrix} + 45 e^{-0.12t} \begin{pmatrix} 1 \\ -2 \end{pmatrix} \quad \text{dvs.}$$

$$\begin{aligned} x(t) &= 20 + 35 e^{-0.04t} + 45 e^{-0.12t} \\ y(t) &= 20 + 70 e^{-0.04t} - 90 e^{-0.12t} \end{aligned}$$

Dias 18/28

Anæstesimodel med tilførsel vha. drop

(Gennemgås næste gang som oplæg til Miniprojekt 4)

$$\begin{pmatrix} K'_B \\ K'_V \end{pmatrix} = \begin{pmatrix} -(a_1 + a_3) & a_2 \\ a_1 & -a_2 \end{pmatrix} \begin{pmatrix} K_B \\ K_V \end{pmatrix} + \begin{pmatrix} d_0 \\ 0 \end{pmatrix}.$$

Dias 20/28

Løsning af inhomogene systemer $\mathbf{x}' = \mathbf{Ax} + \mathbf{b}(t)$

Sætning Løsning af inhomogene systemer $\mathbf{x}' = \mathbf{Ax} + \mathbf{b}(t)$

Antag \mathbf{A} har n forskellige reelle egenverdier $\lambda_1, \dots, \lambda_n$ med tilhørende egenvektorer $\mathbf{q}_1, \dots, \mathbf{q}_n$.

Systemet

$$\mathbf{x}' = \mathbf{Ax} + \mathbf{b}(t)$$

har den fuldstændige løsning

$$\begin{aligned}\mathbf{x}(t) &= \varphi_0(t) + \text{FHL} \\ &= \varphi_0(t) + c_1 e^{\lambda_1 t} \mathbf{q}_1 + \dots + c_n e^{\lambda_n t} \mathbf{q}_n \quad (c_1, \dots, c_n \in \mathbb{R})\end{aligned}$$

hvor $\varphi_0(t)$ er løsningsvektor som vi "gætter".

Gætteregele Gæt på $\varphi_0(t)$ af samme form som $\mathbf{b}(t)$.
Som i gætte- / nålestiksmetoden for én differentialligning.

Dias 21/28

Rod-top: Matematisk model for kulstof i en plante

- Kulstoffet i planten opdeles i 5 puljer:
 - W_P : Nyoptaget kulstof i planten ("recently assimilated carbon")
 - W_{ST} : Mobilt kulstof i toppen ("storage pool in shoots")
 - W_{SR} : Mobilt kulstof i roden ("storage pool in roots")
 - W_{GT} : Strukturelt kulstof i toppen ("structural material in shoots")
 - W_{GR} : Strukturelt kulstof i roden ("structural material in roots")
- Puljen med nyoptaget kulstof i planten tilføres kulstof med en tidsafhængig hastighed $P_G(t)$ ("photosynthesis plus mitochondrial respiration of shoots").
- Overførslen mellem de forskellige puljer fremgår af næste side.
- Der udveksles ikke kulstof mellem rod og top.
- Ficks lov: Overførsel fra en pulje til en anden foregår med en hastighed, der er proportional med koncentrationen i den pulje, der overføres fra.
- Ved omdannelse af mobilt kulstof til strukturelt kulstof er der et spild ("respiration"), som er proportional med den omdannede mængde.

Dias 23/28

Rod-top model for kulstof i en plante

Baseret på artiklen

G. K. Hansen and H. Svensen, A Model of Assimilate Partitioning and Utilization in Shoots and Roots in the Vegetative Stage of *Lolium Multiflorum*, *Acta Agriculturae Scandinavica* **36** (1986), 286–300.

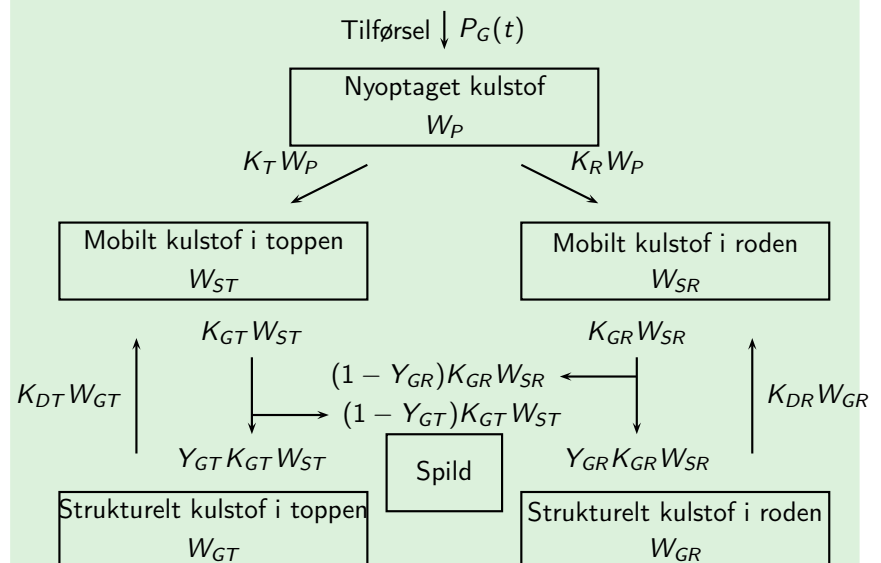
som findes på Absalon.

Formål

At forbedre simuleringer af afgrødevækst ved at opstille en model for kulstoftransport i en plante.

Dias 22/28

Rod-top: Kompartimentdiagram



Dias 24/28

Rod-top: Differentialligningsmodel

$$\begin{aligned}
W'_P &= -(K_T + K_R)W_P + P_G(t) \\
W'_{ST} &= K_T W_P - K_{GT} W_{ST} + K_{DT} W_{GT} \\
W'_{GT} &= Y_{GT} K_{GT} W_{ST} - K_{DT} W_{GT} \\
W'_{SR} &= K_R W_P - K_{GR} W_{SR} + K_{DR} W_{GR} \\
W'_{GR} &= Y_{GR} K_{GR} W_{SR} - K_{DR} W_{GR}
\end{aligned}$$

På matrixform $\mathbf{W}' = \mathbf{A}\mathbf{W} + \mathbf{P}_G(t)$:

$$\begin{pmatrix} W'_P \\ W'_{ST} \\ W'_{GT} \\ W'_{SR} \\ W'_{GR} \end{pmatrix} = \begin{pmatrix} -(K_T + K_R) & 0 & 0 & 0 & 0 \\ K_T & -K_{GT} & K_{DT} & 0 & 0 \\ 0 & Y_{GT} K_{GT} & -K_{DT} & 0 & 0 \\ K_R & 0 & 0 & -K_{GR} & K_{DR} \\ 0 & 0 & 0 & Y_{GR} K_{GR} & -K_{DR} \end{pmatrix} \begin{pmatrix} W_P \\ W_{ST} \\ W_{GT} \\ W_{SR} \\ W_{GR} \end{pmatrix} + \begin{pmatrix} P_G(t) \\ 0 \\ 0 \\ 0 \\ 0 \end{pmatrix}$$

Dias 25/28

Rod-top: Model med konstant tilførsel af kulstof

Antagelse $P_G(t) = 15$ for alle t .

Herved fås det lineære inhomogene system $\mathbf{W}' = \mathbf{A}\mathbf{W} + \mathbf{P}_G$ med $\mathbf{P}_G = (15, 0, 0, 0, 0)$.

Ligevægt (udregnet vha. R)

$$\mathbf{W}^* = -\mathbf{A}^{-1}\mathbf{P}_G = (16.0, 29.9, 361.2, 2.6, 56.9)$$

Stabilitet og fuldstændig løsning Da egenværdierne for \mathbf{A} (vha. R) er

$$\lambda_1 = -0.024, \lambda_2 = -0.036, \lambda_3 = -0.94, \lambda_4 = -2.33, \lambda_5 = -3.24$$

er ligevægten stabil og den fuldstændige løsning er

$$\mathbf{W}(t) = \mathbf{W}^* + c_1 e^{-0.024t} \mathbf{q}_1 + c_2 e^{-0.036t} \mathbf{q}_2 + c_3 e^{-0.94t} \mathbf{q}_3 + c_4 e^{-2.33t} \mathbf{q}_4 + c_5 e^{-3.24t} \mathbf{q}_5$$

hvor egenvektorerne \mathbf{q}_i for \mathbf{A} kan findes vha. R.

Konstanterne c_1, \dots, c_5 kan bestemmes ud fra begyndelsesbetingelserne.

Dias 27/28

Rod-top: Model med parameterværdier

Parameterværdier

Bestemmes ved forskellige slags forsøg (se artiklen for detaljer):

$$\begin{aligned}
K_T &= 0.70 & K_{GT} &= 2.2 & K_{DT} &= 0.151 & Y_{GT} &= 0.83 \\
K_R &= 0.24 & K_{GR} &= 3.2 & K_{DR} &= 0.079 & Y_{GR} &= 0.54
\end{aligned}$$

(når tiden t måles i dage). Heraf fås

$$\mathbf{A} = \begin{pmatrix} -0.94 & 0 & 0 & 0 & 0 \\ 0.70 & -2.2 & 0.151 & 0 & 0 \\ 0 & 1.83 & -0.151 & 0 & 0 \\ 0.24 & 0 & 0 & -3.2 & 0.079 \\ 0 & 0 & 0 & 1.73 & -0.079 \end{pmatrix}$$

Dias 26/28

Rod-top: Simplere model for kulstof i toppen

- Kulstoffet i toppen opdeles (som før) i 2 puljer:
 - W_S : Mobilt kulstof i toppen
 - W_G : Strukturelt kulstof i toppen
- Simplificerende antagelse: Puljen med mobilt kulstof tilføres kulstof *direkte* (og ikke via en pulje med nyoptaget kulstof) med en tidsafhængig hastighed $P_G(t)$.
- Ellers samme antagelser som før.

Differentialligningsmodel for kulstof i toppen

$$\begin{aligned}
W'_S &= -K_G W_S + K_D W_G + P_G(t) \\
W'_G &= Y_G K_G W_S - K_D W_G
\end{aligned}$$

På matrixform:

$$\begin{pmatrix} W'_S \\ W'_G \end{pmatrix} = \begin{pmatrix} -K_G & K_D \\ Y_G K_G & -K_D \end{pmatrix} \begin{pmatrix} W_S \\ W_G \end{pmatrix} + \begin{pmatrix} P_G(t) \\ 0 \end{pmatrix}$$

Indgår i Miniprojekt 4 samt i Modul 5 ifm. numerisk løsning.

Dias 28/28